

中心軸圧縮を受ける拘束コンクリートの 非線形挙動と破壊モードの判別

武藏工業大学 学生員 山川和弘
武藏工業大学 正会員 吉川弘道

1. はじめに

鉛直応力を受けるコンクリート柱は、塑性変形過程に軟化挙動を呈するため、横補強筋を用いることにより、体積膨張を拘束し、強度・韌性を改善することができる。本研究はRC柱の力学場の記述から出発し、解析モデルの構築を行う。さらに、材料破壊形態を diffuse failure と localized failure に分類し、それぞれの発生条件より、Confined Concrete の破壊モードの判定を行うものである。

2. 解析モデルの定式化

図-1に示す外的に作用する軸圧縮応力 $\sigma_{33}(<0)$ に対して、各材料に作用している応力はベクトル表示した釣合条件によって関係づけられる。

$$\text{釣合条件: } \begin{Bmatrix} 0 \\ 0 \\ \sigma_{33} \end{Bmatrix} = \begin{Bmatrix} \sigma_{11}^c \\ \sigma_{22}^c \\ \sigma_{33}^c \end{Bmatrix} + p \begin{Bmatrix} \sigma_{11}^s \\ \sigma_{22}^s \\ 0 \end{Bmatrix} \quad (1)$$

$$\text{適合条件: } \{\epsilon_c\} = \{\epsilon\}, \{\epsilon_s\} = \{\epsilon\} \quad \dots \dots \dots \quad (2)$$

添字 c, s はそれぞれコンクリートと鉄筋を示す。p は鉄筋比(面積比)を表し、正方形断面より 1,2 平面を面内等方性($\dot{\epsilon}_{11}=\dot{\epsilon}_{22}$)として取り扱う。コンクリートおよび鉄筋の構成則に以上の関係を適応させることにより、以下のような定式化が可能となる。ただし、 $D_{ijkl}^{ep}(i,j,k,l=1 \sim 3)$ は D_{ep} の成分を表す。

$$\dot{\epsilon}_{11} = \dot{\epsilon}_{22} = \frac{-D_{1133}^{ep}}{D_{1111}^{ep} + D_{1122}^{ep} + pE_{1111}^s} \epsilon_{33} \quad \dots \dots \dots \quad (3)$$

$$\dot{\sigma}_{33} = \left[D_{3333}^{ep} - \frac{D_{1133}^{ep} (D_{3311}^{ep} + D_{3322}^{ep})}{D_{1111}^{ep} + D_{1122}^{ep} + pE_{1111}^s} \right] \dot{\epsilon}_{33} \quad \dots \dots \dots \quad (4)$$

ここで、横補強筋を持つときの見掛け上のボアソン比を、 $\nu^* \equiv \epsilon_{11}/\epsilon_{33} \equiv \epsilon_{22}/\epsilon_{33}$ として定義すると、次式のように表示される。

$$\nu^* = \frac{D_{1133}^{ep}}{D_{1111}^{ep} + D_{1122}^{ep} + pE_{1111}^s} \quad \dots \dots \dots \quad (5)$$

• Concrete

$$\dot{\sigma}_{11}^c = \dot{\sigma}_{22}^c = \left[D_{1133}^{ep} - \frac{D_{1133}^{ep} (D_{1111}^{ep} + D_{1122}^{ep})}{D_{1111}^{ep} + D_{1122}^{ep} + pE_{1111}^s} \right] \dot{\epsilon}_{33} \quad (6)$$

$$\dot{\sigma}_{33}^c = \dot{\sigma}_{33} \quad \dots \dots \dots \quad (7)$$

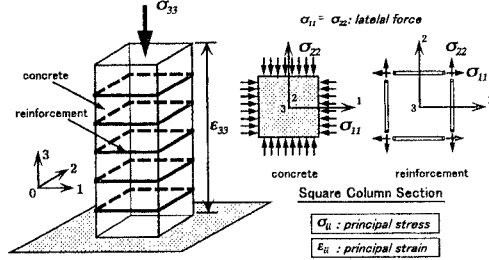


図-1 Confined Concrete Column Under Axially Loading

• Lateral Reinforcement

$$\dot{\sigma}_{11}^s = \dot{\sigma}_{22}^s = \frac{-E_{1111}^s D_{1133}^{ep}}{D_{1111}^{ep} + D_{1122}^{ep} + pE_{1111}^s} \epsilon_{33} \quad \dots \dots \dots \quad (8)$$

コンクリートの構成則は、Drucker-Prager 型弾塑性構成則を導入し、次式のように表す。

$$\dot{\sigma}_c = D_{ep} \dot{\epsilon}, (D_{ep} = E_c - E_p) \quad \dots \dots \dots \quad (9)$$

ただし、 D_{ep} は弾塑性接線剛性を表し、弾性成分 E_c 、塑性成分 E_p によって構成される。Drucker-Prager 型の後続の降伏曲面は、呉・田辺の損傷モデル¹⁾を導入し、損傷量 ω によって変化したものとした。

横補強筋の構成則はバイリニア型のモデルを用い、鉄筋の降伏強度以降、初期剛性の 1/100 勾配とした。

3. 材料破壊の分類と条件式

材料破壊として運動場の連続・非連続性から次の 2 つの mode を分類²⁾する。

diffuse failure: diffuse failure は塑性過程において、内部の変数が空間的不連続を示さないもので、応力極値点(limit point)に対応し、 D_{ep} の特異性に関連付けられ、次式のように表される。

$$\dot{\sigma} = D_{ep} : \dot{\epsilon}_{dif} = 0, (\dot{\epsilon}_{dif} \neq 0) \quad \det(D_{ep}) = 0 \quad (10)$$

localized failure: localized failure は空間的不連続を呈するもので不連続面において、変位速度 $\dot{\mathbf{u}}$ は連続、変位速度勾配 $\nabla \dot{\mathbf{u}}$ は不連続と考える(c^0 連続体)。

$$[[\dot{\mathbf{u}}]] = 0, [[\nabla \dot{\mathbf{u}}]] = \dot{\mathbf{M}} \otimes \mathbf{N} \neq 0 \quad \dots \dots \dots \quad (11)$$

ただし、ベクトル \mathbf{N} は不連続面の直交方向、ベクトル \mathbf{M} は不連続部の相対的な運動方向を表す。局所化

Key Words: 拘束コンクリート、弾塑性構成則、拘束効果、分布/局所破壊

連絡先 (武藏工業大学) 〒158 東京都世田谷区玉堤 1-28-1, TEL:03-3703-3111, (ext.3241), FAX:03-5707-2125,

E-mail:yamakawa@shear.civil.musashi-tech.ac.jp

の開始直前までは、材料が一様塑性状態と仮定し、不連続面の直交方向に作用するトラクション i は連続 ($[i] = N \cdot [\dot{\epsilon}] = 0$) でなければならない。最終的に、localized failure の発生条件は、特性テンソル Q_{ep} によって次式のように表される。

$$\det(Q_{ep}) = 0, \quad Q_{ep}(N) \equiv N \cdot D_{ep} \cdot N \quad \dots \dots (12)$$

4. 数値シミュレーションによる考察

上記で定式化したモデルを用いて数値シミュレーションを実施した。図-2は鉄筋比($p=0.5\sim2.0\%$)をパラメータとして軸ひずみ ϵ_{33} に応答する拘束コンクリートの応力～ひずみ関係を示したものである。図から横補強筋の拘束効果による最大圧縮応力 / peak 時のひずみが改善され、拘束効果が良くシミュレートされたといえる。また、破壊モードの判定においては、破壊基準である λ^{diff} が 0 であることから、diffuse failure と判定された。図-3は応力経路を示したものである。鉄筋比が大きいほど拘束圧も大きくなり、鉄筋の降伏以降、急激に軸力が低下することがわかる。図-4は横補強筋の拘束量と最大圧縮応力の関係を示したもので、鉄筋比と降伏強度の増大に伴い、最大圧縮応力の向上が見られた。星限らの提案式³⁾と比較した結果、各種とも鉄筋は低拘束量で、ほぼ似た勾配をとり、良好な結果が得られた。また、鉄筋の種類により勾配が異なる結果となった。

5. まとめ

本研究では、補強筋で拘束されるコンクリートを簡単な方法を用いて、解析的に再現することを試みた。モデルの定式化、および、数値シミュレーションにより、拘束効果を再現したものと考える。破壊モードの判定においては、diffuse failure と判定したが、今後、破壊モードについては、構成則の再考、および、実験結果の照合よりさらなる検討が必要とされる。

参考文献

- 1) Wu,Z.S. and Tanabe,T. : "A Hardening/Softening Model of Concrete Subjected to Compressive Loading", Journal of Structural Engineering, Architectural Institute of Japan, Vol.36B, pp.153-162, March ,1990.
- 2) Yoshikawa,H. and Willam,K. : "Analysis of Localized Fracture in Elasto-plastic Solids", IUTAM Symposium, Mechanics of Brittle disordered Materials, Concrete, Rock and Ceramics, E&FN SPON, pp.464-478, 1995.
- 3) 星限順一, 川島一彦, 長屋和宏 : "鉄筋コンクリート橋脚の地震時保有水平耐力の照査に用いるコンクリートの応力 - ひずみ関係", 土木学会論文集, No.520/V-28, pp.1-11, 1995

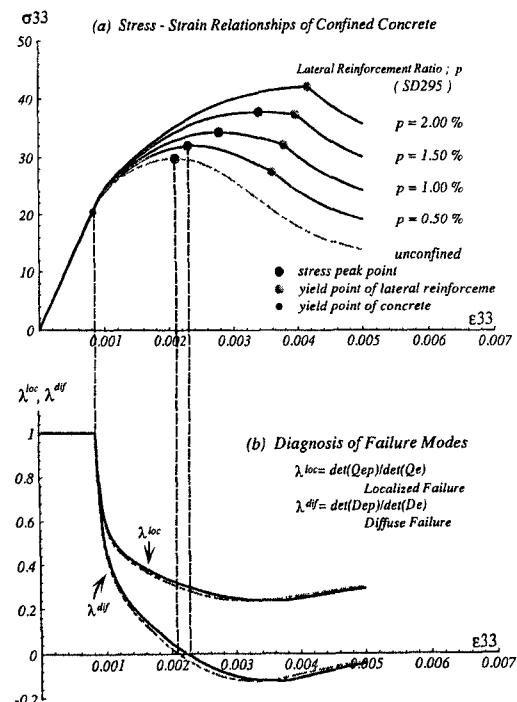


図-2 (a) 拘束コンクリートの応力～ひずみ関係、(b) 破壊モードの判定

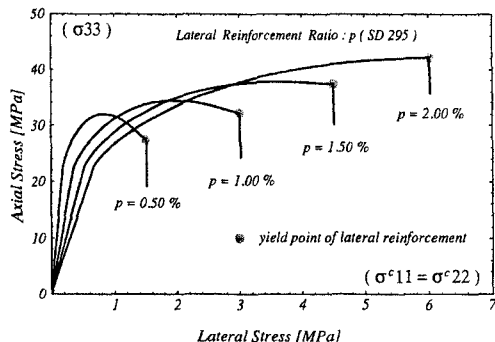


図-3 拘束コンクリートの応力経路

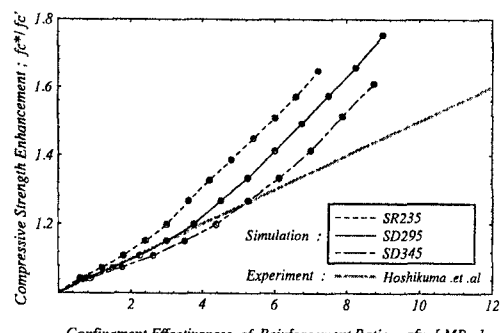


図-4 横補強筋の拘束量と最大圧縮応力の関係